

ЛИТЕРАТУРА

1. Иммобилизованные ферменты/Под ред. И. В. Березина, В. К. Антонова, К. Мартинека.— М.: Мир, 1976.
2. Самохин Г. П., Клебанов А. М., Мартинек К. Фотохимическая иммобилизация ферментов.— Вестн. Моск. ун-та. Сер. Химия, 1978, т. 19, № 4.
3. Березин И. В., Варфоломеев С. Д., Казанская Н. Ф., Никольская И. Н. Светочувствительные катализитические системы.— Успехи науч. фотограф., 1978, т. 19, с. 255.
4. Лурье А. А. Сорбенты и хроматографические носители.— М.: Химия, 1972, с. 127.
5. Сунь Тун, Чекалин М. А., Роговин З. А. Новый метод получения химически окрашенных волокон.— Журн. прикл. химии, 1961, т. 34, № 1.
6. Берстон М. Гистохимия ферментов.— М.: Мир, 1965.
7. Пирс З. Гистохимия.— М.: ИЛ, 1962.
8. Бармина Л. В., Зайчиков Е. Ф., Старостина В. К. Сравнение кинетических свойств растворимой и иммобилизованной щелочной фосфотазы из *E. Coli*.— Биохимия, 1974, т. 39, № 4.

Поступила в редакцию 8 апреля 1983 г.

УДК 666.266.5 : 772.99

А. А. АНИКИН, А. А. СОКОЛОВ

(Новосибирск)

ОПРЕДЕЛЕНИЕ ФОРМЫ ЧАСТИЦ ФОТОЛИТИЧЕСКОГО СЕРЕБРА ПО СПЕКТРАМ ПОГЛОЩЕНИЯ

Введение. В последнее время широко ведутся исследования различных светочувствительных материалов. Заметное место среди них занимают материалы, в которых под действием света образуются мельчайшие металлические частицы. Это, главным образом, галогеносеребряные эмульсии, галогеносеребряные и галогеномедные фотохромные стекла и пленки. Непосредственное наблюдение частиц с помощью электронной микроскопии во многих случаях затруднительно, поэтому анализ спектров поглощения является основным способом получения качественной информации о процессах образования и трансформации металлических частиц. Справедливость сделанных при этом выводов, естественно, определяется обоснованностью модельных представлений.

До сих пор многие специалисты исходят из теории Ми, согласно которой смещение максимума спектра поглощения в сторону длинных волн должно означать увеличение размера частиц, а сдвиг в коротковолновую область — уменьшение. Этот эффект, однако, имеет место лишь для достаточно крупных частиц $d \sim 20 \div 60$ нм. Следует заметить, что образование столь крупных металлических частиц в рассматриваемых материалах в одних случаях невозможно, в других — маловероятно.

В работе [1] было показано, что спектры дополнительного поглощения, возникающие при фотолизе галогенов серебра, можно объяснить образованием сплюснутых частиц серебра весьма малого размера ($\sim 2 \div 4$ нм). Смещение максимума поглощения в длинноволновую область в этом случае объясняется увеличением степени несферичности частиц, а обратная ситуация — их округлением. При облучении галогеносеребряных фотохромных стекол был обнаружен эффект фотонаведения анизотропии, качественно и количественно подтверждающий наличие сплюснутых частиц [2, 3].

Таким образом, при анализе спектров поглощения серебряных частиц, выделяющихся как в объеме, так и на поверхности кристаллов галоидного серебра, необходимо учитывать возможность образования частиц несферической формы. Удобным приближением для учета несферичности является модель эллипсоидальных частиц. В настоящей работе детально рас-

Рис. 1. Оптические константы серебра ϵ' и ϵ'' — действительная и мнимая части диэлектрической проницаемости.

сматривается зависимость спектров поглощения мельчайших эллипсоидальных частиц серебра от размера, формы, дисперсности по форме; решается обратная задача — определение формы частиц и дисперсности по форме из экспериментальных спектров поглощения.

Спектры поглощения металлических эллипсоидальных частиц. Общаясь со специалистами по оптике и смежным областям, мы обнаружили, что все знают теорию Ми и почти никто не знает формулы Ми — Ганса. Между тем Ганс еще в 1915 г. установил, что маленькая эллипсоидальная металлическая частица в общем случае будет иметь три полосы поглощения, причем положения полос не зависят от размера частицы, а определяются ее формой [4]. Последнее обстоятельство всегда вызывает удивление: каким образом расщепляются спектры, если размер частицы много меньше длины волны света.

Если поляризация света совпадает с одной из осей эллипса, то формула Ганса для коэффициента поглощения примет вид:

$$K = \frac{2\pi\epsilon''/\lambda}{(1 + (\epsilon' - 1)n_i)^2 + \epsilon''^2 n_i^2} V, \quad (1)$$

где ϵ' , ϵ'' — действительная и мнимая части диэлектрической проницаемости, λ — длина волны света, V — объем частицы, n_i — так называемый коэффициент деполяризации вдоль i -й оси эллипса.

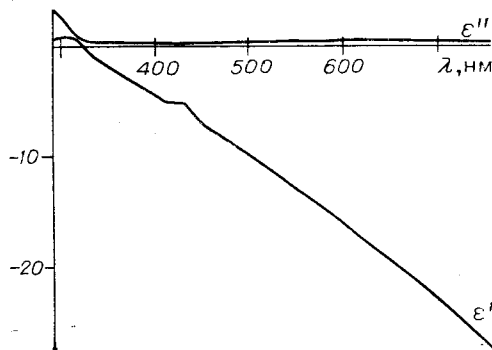
Это известное выражение для сечения поглощения света диэлектрическим эллипсом, размер которого настолько мал, что поле световой волны в нем однородно. Его можно применять для частиц серебра размером 10 нм и меньше.

На рис. 1 приведены оптические константы серебра [5]. Во всем рассматриваемом диапазоне спектра действительная часть диэлектрической проницаемости ϵ' отрицательна и выполняется условие $|\epsilon'| \gg \epsilon''$. Отрицательное значение ϵ' объясняется тем, что при частотах, соответствующих видимому диапазону и более низких, оптические свойства металлов определяются свободными электронами. Так как поле смещенных электронов в этом случае направлено в ту же сторону, что и поле световой волны, возможно возникновение резонансных колебаний электронов. Условие резонанса выполняется при обращении в нуль первого слагаемого в знаменателе (1), т. е. $1 + (\epsilon' - 1)n_i = 0$. В случае произвольного эллипса каждой оси соответствуют определенные коэффициент деполяризации и резонансная частота. Коэффициенты деполяризации связаны соотношением $n_a + n_b + n_c = 1$. Выражения для коэффициентов деполяризации можно найти, например, в [6].

Еще раз подчеркнем, что положение резонансных полос поглощения маленькой металлической частицы, найденное из (1), не зависит от ее размера, а определяется только формой. Влияние размера частицы на ее оптические константы исследовалось теоретически и экспериментально в [7]. Было показано, что уменьшение размера частиц приводит к возрастанию рассеяния электронов на поверхности и увеличению ϵ'' . Соответственно происходит уширение резонансных пиков. Далее будем пользоваться результатами [7].

Для коэффициента поглощения системы изотропно ориентированных частиц справедливо выражение

$$\bar{K} = (1/3)(K_a + K_b + K_c). \quad (2)$$



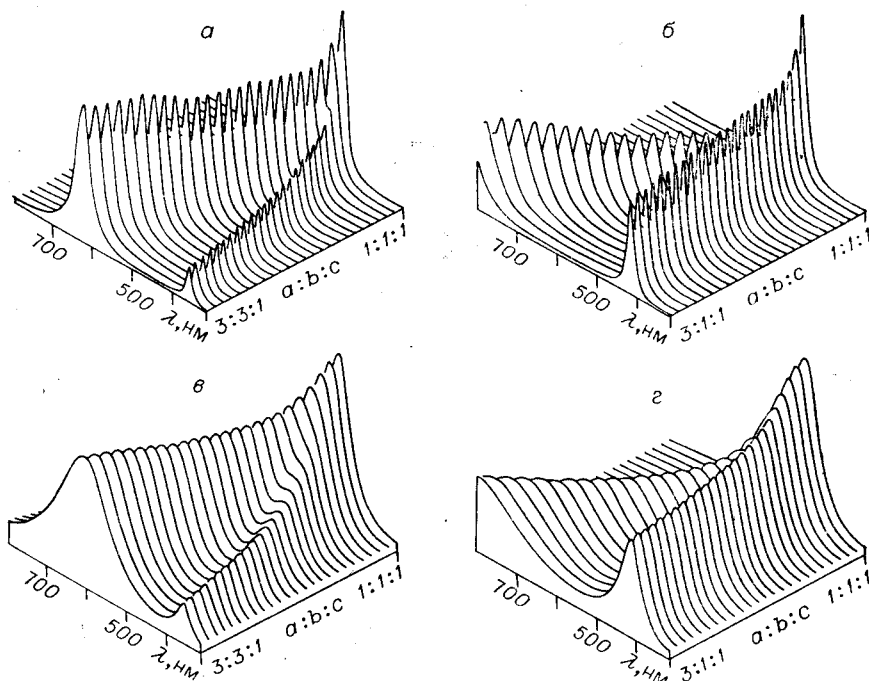


Рис. 2. Спектры поглощения частиц серебра, имеющих форму эллипсоидов вращения: а — сжатые эллипсоиды, константы серебра соответствуют $R=10$ нм; б — вытянутые эллипсоиды ($R=10$ нм); в — сжатые эллипсоиды ($R=2$ нм); г — вытянутые эллипсоиды ($R=2$ нм).

На рис. 2, а, б приведены спектры поглощения частиц серебра, имеющих форму эллипсоидов вращения и находящихся в хлористом серебре. Оптические константы AgCl взяты из [8].

На рисунках видны различия в характере расщепления спектров сплюснутых и вытянутых частиц. Для сплюснутых частиц преобладающей является длинноволновая полоса поглощения: она соответствует двум осям из трех. Для вытянутых эллипсоидов суммируются две коротковолновые полосы.

Различается также и степень смещения полос в зависимости от отношения осей.

Рис. 2, в, г иллюстрирует уширение полос поглощения, связанное с увеличением ϵ'' при уменьшении размера частиц (см. (2)). Характер расщепления спектров при этом сохраняется.

На рис. 3 показано расщепление спектров при переходе от сжатого эллипсоида вращения к вытянутому.

Из рис. 2, 3 следует, что спектры поглощения эллипсоидальных частиц серебра перекрывают весь видимый диапазон, захватывают ближнюю УФ-часть спектра и простираются в ИК-область. В экспериментах с галоидосеребряными материалами спектры поглощения обычно изменяются в видимой области. На рис. 4 приведены спектры дополнительного поглощения, характерные для различных типов галоидосеребряных фотохромных стекол. Наблюдаются различия как в положении максимумов, так и в ширине спектров. Все эти спектры могут быть получены наложением полос поглощения эллипсоидальных частиц, взятых с соответствующим весом. В качестве иллюстрации на рис. 5, а, б приведены спектры поглощения систем эллипсоидальных частиц, вычисленные по формуле

$$K(\lambda) = \int \bar{K}(\lambda) f(a/c) d(a/c). \quad (3)$$

Функция распределения $f(a/c)$ для определенности полагалась гауссовой.

Обратим внимание на то, что в ближней УФ-области на спектрах имеется вторая полоса поглощения, значительно меньшая, чем в видимой области.

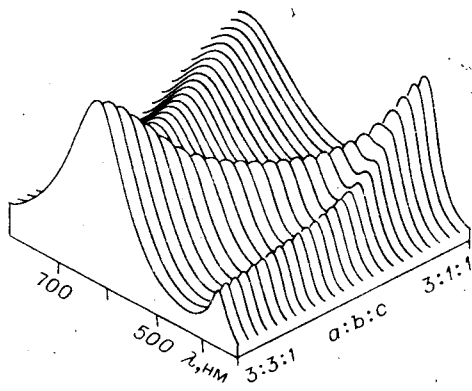


Рис. 3. Спектры поглощения частиц серебра, имеющих форму произвольного эллипсоида.

Константы серебра соответствуют $R=5$ нм.

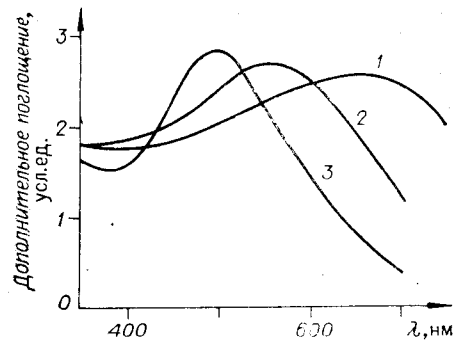


Рис. 4. Характерные спектры дополнительного поглощения галоидосеребряных фотохромных стекол.

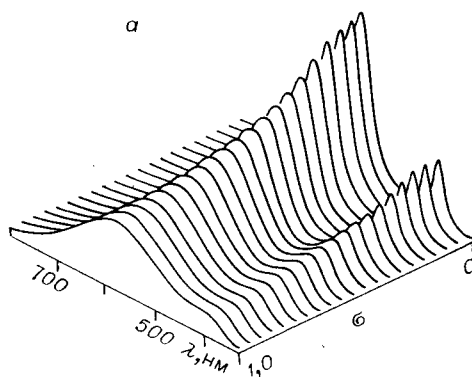


Рис. 5. Спектры поглощения систем эллипсоидальных частиц серебра с функцией распределения $f(a/c) = (\sqrt{2\pi}\sigma)^{-1} \exp((a/c - U)^2/2\sigma^2)$:
а — эллипсоиды вращения, $U=2.0$, $R=7$ нм; б — эллипсоиды вращения, $U=1.0$, $R=7$ нм.

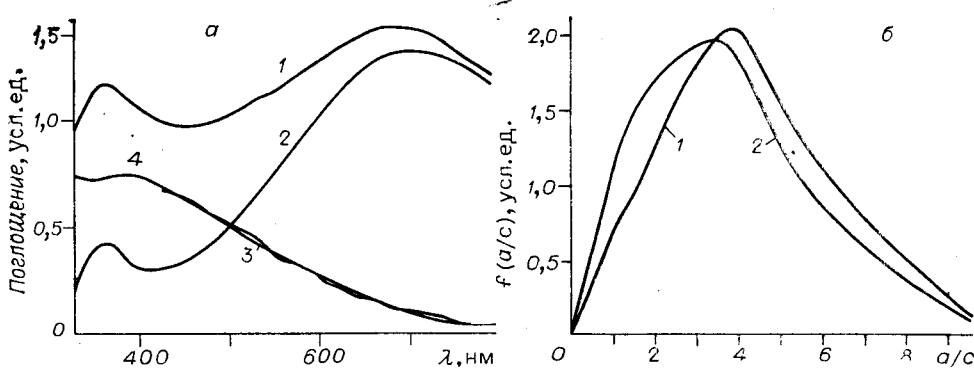
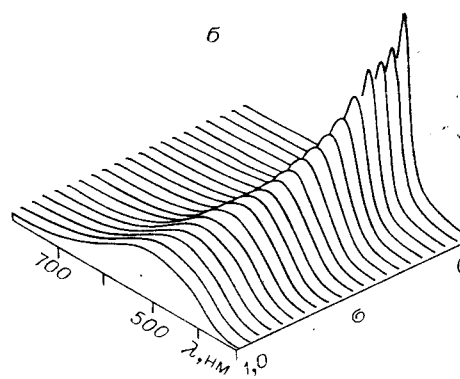


Рис. 6. Сравнение экспериментальных и расчетных спектров поглощения в области 330–790 нм:

а — аппроксимация экспериментального спектра: 1 — экспериментальный спектр, 2 — расчетный спектр серебряных частиц, 3 — спектр ионов Cu^{++} , 4 — разность спектров 1 и 2; б — вид функции распределения: кривая 1 соответствует аппроксимации частицами $R=2$ нм, кривая 2 — частицами $R=10$ нм.

Таким образом, варьируя вид функции распределения и размер частиц, можно добиться соответствия экспериментального и расчетного спектров системы эллипсоидальных частиц в диапазоне длин волн от 450 нм и более. Что касается коротковолнового участка спектра $\lambda < 450$ нм, то возможности его аппроксимации ограничены взаимосвязью

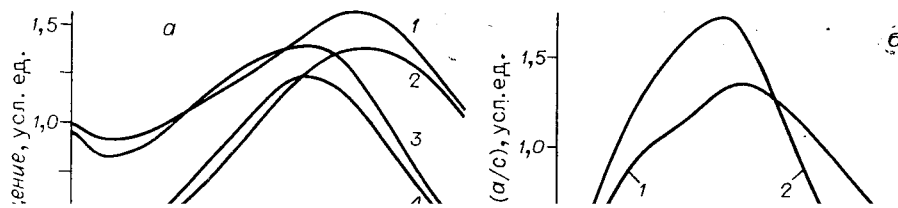


Рис. 7. Поведение функции распределения при термическом обесцвечивании фотохромного стекла:

a — спектры поглощения: 1 — спектр дополнительного поглощения, засвеченного до насыщения фотохромного стекла; 2 — расчетный спектр поглощения фотолитического серебра для 1; 3 — спектр дополнительного поглощения после непродолжительного нагрева; *b* — вид функции распределения: 1 — для засвеченного образца, 2 — после нагрева.

поглощения эллипсоидальных частиц в длинноволновой и коротковолновой областях спектра. Между тем измерения в УФ-области показывают, что на спектрах дополнительного поглощения галогеносеребряных материалов имеется максимум в районе 360 \div 380 нм [9, 10]. Высказано предположение, что это полоса поглощения *F*-центров. Мы считаем, что существование такого максимума следует рассматривать как подтверждение того, что образуются частицы фотолитического серебра преимущественно сплюснутой формы, как это видно из рис. 5.

Определение формы частиц по спектрам поглощения. Как отмечалось выше, в области $\lambda > 450$ нм можно получить экспериментальный спектр наложением полос поглощения эллипсоидальных частиц различной формы. Представляет интерес сравнение коротковолновых участков расчетного и экспериментального спектров.

На рис. 6 приведен спектр дополнительного поглощения галоидсеребряного фотохромного стекла в диапазоне 330 \div 790 нм. Сопоставляя этот спектр с расчетными спектрами на рис. 5, легко заметить, что расчетный коротковолновый максимум заметно меньше экспериментального. Оказывается, что количественного согласия спектров можно достичь, если принять во внимание, что одновременно с образованием серебра появляются ионы Cu^{++} , спектр поглощения которых имеет подъем в коротковолновую область (рис. 6, кривая 3) [11]. Медь является акцептором галогена и всегда добавляется в галоидсеребряные материалы как сенсибилизатор. С учетом поглощения Cu^{++} расчетные спектры хорошо соглашаются с экспериментальными (см. рис. 6, кривые 1—4). Алгоритм аппроксимации описан в приложении.

В результате выявляется следующее.

1. Экспериментальные спектры хорошо аппроксимируются поглощением как мелких $R \sim 1 \div 2$ нм, так и более крупных $R \sim 10$ нм частиц. Функция распределения при этом меняется несущественно.

2. Хорошего совпадения спектров удается добиться лишь при отношении количества ионов Cu^{++} к количеству атомов металлического серебра, близком к 1 : 10.

В качестве примера, иллюстрирующего возможности описываемой методики, проведем анализ спектральных кривых при термическом обесцвечивании окрашенного фотохромного стекла. На рис. 7 приведены спектры дополнительного поглощения и соответствующие им функции распределения частиц. Можно сделать вывод, что на начальной стадии термического обесцвечивания происходит, главным образом, округление частиц и лишь потом разрушение фотолитического серебра.

Заключение. Показано, что спектры поглощения фотолитического

серебра в галоидосеребряных материалах весьма хорошо аппроксимируются поглощением эллипсоидальных частиц серебра и ионов Cu^{++} . Совпадение спектров достигается при отношении количества ионов меди к количеству атомов металлического серебра, близком к 1:10. Предложена методика нахождения функции распределения частиц по форме. Согласно развитым в данной работе представлениям, сдвиг спектра поглощения в длинноволновую область может означать рост частиц серебра в плоскости, а смещение максимума в сторону коротких волн — округление частиц.

Что касается определения размера частиц, то в случае размытых спектров можно добиться совпадения расчетных данных с экспериментальными как для мельчайших ($R \sim 1$ нм), так и для более крупных ($R \sim 10$ нм) частиц, причем положения максимумов функции распределения по форме различаются незначительно. Иначе говоря, по виду спектра поглощения нельзя сделать заключения о размере частиц. Размер частиц можно оценить по ширине полосы селективного обесцвечивания фотолитического серебра монохроматическим длинноволновым светом [3].

Хотя полученные здесь результаты относятся к галоидосеребряным материалам, они могут быть применены и к другим твердым телам, содержащим мельчайшие металлические частицы.

ПРИЛОЖЕНИЕ

Пусть $K_{ex}(\lambda)$ — спектр, который требуется аппроксимировать. Будем проводить эту операцию следующим образом. Для начала выберем N длины волн λ_i , $i = 1, \dots, N$, так, чтобы все они лежали в диапазоне $\lambda_i > > 480$ нм. Для каждой длины волны λ_i существует эллипсоид с соотношением осей $(a/c)_i$, спектр поглощения которого имеет максимум на длине волны λ_i . Если дополнительно потребуем, чтобы эллипсоид был сплюснутым, то выбор $(a/c)_i$ будет однозначным.

Если длины волн выбирать достаточно часто (так, чтобы расстояние между ближайшими λ_i не превышало ширины пика в спектре поглощения соответствующих частиц), то в соответствии с (3) исходный спектр $K_{ex}(\lambda)$ можно представить как суперпозицию спектров поглощения эллипсоидов с соотношением осей $(a/c)_i$. Функцию распределения $f(a/c)$ в (3) аппроксимируем сплайном, построенным на точках $\{(a/c)_i\}$.

Выпишем систему уравнений для нахождения $f(a/c)$. Будем требовать выполнения условий

$$K_{ex}(\lambda_i) = K(\lambda_i) + K_{\text{Cu}}(\lambda_i) \quad (4)$$

для выбранных $\{\lambda_i\}$. Здесь $K(\lambda)$ находится в соответствии с (3), а $K_{\text{Cu}}(\lambda)$ — поглощение ионов Cu^{++} . Зададим отношение числа ионов Cu^{++} к числу атомов фотолитического Ag $n_{\text{Cu}^{++}}/n_{\text{Ag}}$. Тогда

$$K_{\text{Cu}}(\lambda) = (n_{\text{Cu}^{++}}/n_{\text{Ag}}) S \alpha_{\text{Cu}}(\lambda), \quad (5)$$

где $S = \int f(a/c) d(a/c)$ — число атомов фотолитического серебра, а $\alpha_{\text{Cu}}(\lambda)$ — сечение поглощения одного иона Cu^{++} . $K(\lambda)$ определяется функцией распределения $f(a/c)$ (3), а она, в свою очередь, есть сплайн, построенный на значениях f_i в точках $(a/c)_i$. Таким образом, N чисел f_i являются неизвестными. Преобразуем (4) с учетом (3), (5) и изложенного выше:

$$K_{ex}(\lambda_i) = K(\lambda_i, f(f_1, \dots, f_N)) + (n_{\text{Cu}^{++}}/n_{\text{Ag}}) S \alpha_{\text{Cu}}(\lambda_i). \quad (6)$$

Выражения (6) представляют собой систему нелинейных уравнений относительно неизвестных f_i . Численным решением (методом Брауна) находим корни f_i , по которым строим искомую функцию распределения $f(a/c)$.

Для точек $\{\lambda_i\}$ и $\{(a/c)_i\}$, выбранных, как описано выше, существование решения системы (6) и его единственность представляются очевидными.

Решение может оказаться не единственным, если для некоторых λ_i поглощение частиц с соотношением осей $(a/c)_i$, $i = 1, \dots, N$, равно нулю (мало). Если выбрать λ_i так, чтобы они находились по обе стороны от максимума поглощения круглых частиц, то возможна ситуация, когда решения (6) не существует. Это объясняется взаимосвязью длинноволновой и коротковолновой областей спектра.

ЛИТЕРАТУРА

1. Аникин А. А., Малиновский В. К. Спектральные свойства статистических систем невзаимодействующих эллипсоидальных частиц серебра малого размера.— Автометрия, 1978, № 1.
2. Аникин А. А., Жданов В. Г., Малиновский В. К., Туниманова И. В., Чехомский В. А. Эффект ВейгERTа в фотохромных стеклах.— Автометрия, 1978, № 1.
3. Anikin A. A., Malinovsky V. K., Zhdanov V. G. On the mechanism of Weigert effect in silver halide materials.— J. Optics (Paris), 1981, N 2, p. 115—121.
4. Gans R. Über die Form Ultramicroskopischer Silberteilchen.— Ann. Phys., 1915, Bd 47, S. 217—284.
5. Jonson P. B., Christy R. W. Optical constants of the noble metals.— Phys. Rev. (B), 1972, vol. 6, p. 4370—4379.
6. Ландау Л. Д., Либшиц Е. М. Электродинамика сплошных сред.— М.: Наука, 1982.
7. Kreibig U. Electronic properties of small silver particles: the optical constants and their temperature dependence.— J. Phys. F: Metal. Phys., 1974, vol. 4, p. 999—1114.
8. Bauer R. S., Spicer W. E., White J. J. Investigation of the Kramers—Kronig analysis: revised optical constants of AgCl.— J. Opt. Soc. Am., 1974, vol. 64, N 6.
9. Moriya V. Absorption bands due to silver particles in glasses containing halogen ions.— J. Non-Cryst. Sol., 1976, vol. 21, p. 233—241.
10. Галашин Е. Е. и др. О природе центров окраски, возникающих при фотолизе ультрамелкозернистой эмульсии.— ЖНиПФИК, 1980, т. 25, № 2.
11. Moser F., Nail N. R., Urbach F. Optical absorption studies of the volume photolysis of large silver chloride crystals.— J. Phys. Chem. Sol., 1959, vol. 9, p. 217—234.

Поступила в редакцию 16 февраля 1983 г.

УДК 537.311.1

В. А. ГУСЕВ, В. А. ДЕТИНЕНКО, А. П. СОКОЛОВ

(Новосибирск)

ФОТОХРОМНЫЙ ЭФФЕКТ И ОПТИЧЕСКАЯ ЗАПИСЬ ИНФОРМАЦИИ В СИЛЛЕНИТАХ ГЕРМАНИЯ, КРЕМНИЯ И ТИТАНА

Силлениты германия и кремния — широко известные в настоящее время материалы. Возможность их технического использования в конкретных устройствах (ПВМС типа ПРОМ, ПРИЗ) вызывает большой интерес к изучению физических свойств этих материалов. Многие свойства, в частности оптические и фотоэлектрические, определяются локальными центрами, уровни которых расположены в запрещенной зоне кристаллов. В работах [1, 2] сообщается, что в специально нелегированных кристаллах $\text{Bi}_{12}\text{GeO}_{20}$ (BGO) и $\text{Bi}_{12}\text{SiO}_{20}$ (BSO), находящихся при $T = 80$ К и облученных светом $\lambda = 365, 436$ нм, наблюдается изменение оптического поглощения (потемнение). Потемнение кристаллов сохраняется длительное время после включения возбуждающего света. В исходное состояние силлениты возвращаются при прогреве до $T = 350—400$ К. Дополнительное экспонирование потемневших кристаллов красным светом с $\lambda > 540$ нм также почти полностью восстанавливает их поглощение. Наряду с этим отмечается, что облучение кристаллов $\lambda = 365, 436$ нм приводит к запол-